

Recherche du neutrino stérile avec l'expérience Stereo : influence de la non-linéarité de la réponse du détecteur sur la sensibilité

Thomas Salagnac

Laboratoire de Physique Subatomique et Cosmologie

July 2015



1 - Présentation de Stereo

2 - Mesure de la linéarité en charge

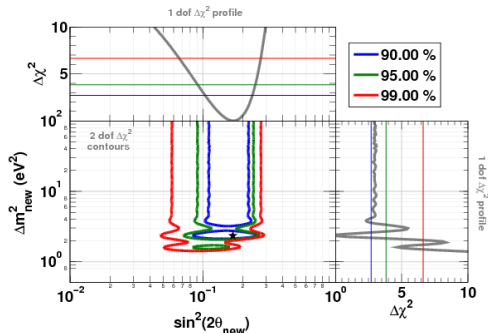
3 - Impact sur la sensibilité

Anomalie ν à courte distance

- Expériences réacteurs, à courte distance (10-500 m) $\Rightarrow \sim 7\%$ déficit de $\bar{\nu}_e$
- Expériences solaires Gallium, étalonnées avec des sources radioactives, SAGE & GALLEX $\Rightarrow \sim 16\%$ déficit de ν_e

Hypothèse : disparition de $\nu_e / \bar{\nu}_e$ vers un **neutrino stérile**

$$P_{e \rightarrow e} = 1 - P_{e \rightarrow st} = 1 - \sin^2(2\theta_{st}) \sin^2\left(1,27 \cdot \frac{\Delta m_{st}^2 [eV^2] \cdot L [m]}{E_{\bar{\nu}_e} [MeV]}\right)$$



Limites sur les paramètres d'oscillation :

$$|\Delta m_{st}^2| > 1.5 \text{ eV}^2 \text{ (99\% C.L)}$$

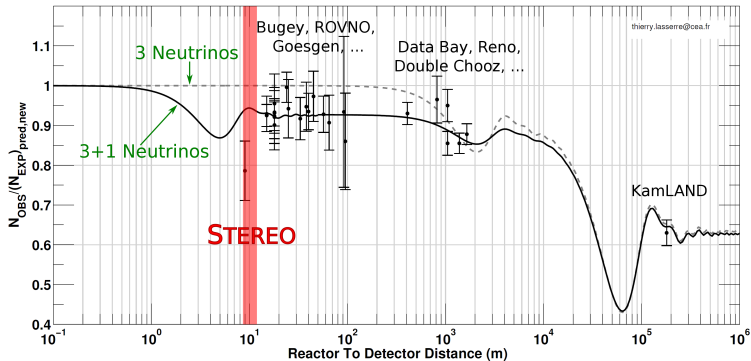
$$\sin^2(2\theta_{st}) = 0.17 \pm 0.04 \text{ (1}\sigma\text{)}$$

Hypothèse sans oscillation
défavorisée à 3.6 σ

Réf. : Abazajian, K. N. et al. Light Sterile Neutrinos: A White Paper. (2012)

Motivations de l'expérience Stereo

But de l'expérience Stereo : Vérification de l'existence d'une nouvelle oscillation de ν à courte distance des réacteurs (~ 10 m)



Méthode : Observation de la déformation du spectre en énergie [1.8 - 10 MeV] en fonction de la distance au réacteur

⇒ permet de s'affranchir de la norme du flux de $\bar{\nu}_e$ qui est entachée de fortes incertitudes

Principe de détection de Stereo

Inverse Beta Decay (IBD) : $\bar{\nu}_e + p \longrightarrow e^+ + n$

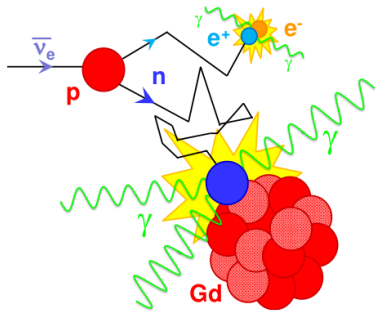
Volume cible : Liquide Scintillant (LS) + Gadolinium (*Gd*)

Signal "Prompt" :

- Thermalisation de e^+
→ scintillation
- Annihilation $e^+ + e^- \rightarrow 2\gamma$ (511 keV)
→ scintillation

Signal "Retardé" ($\tau \sim$ qq μ s) :

- Thermalisation du n
- Capture du n par un noyau de *Gd*
→ émission de γ
→ scintillation



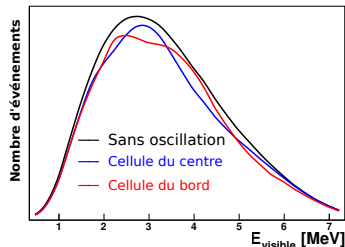
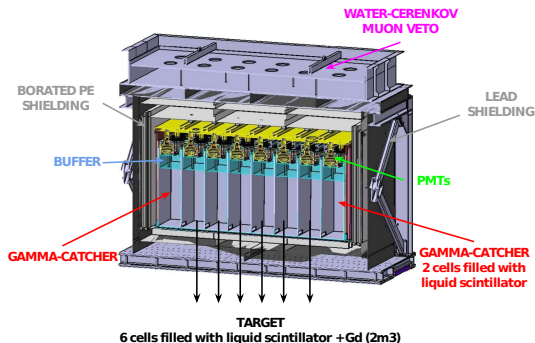
Photons de scintillation = UV/visible $\rightarrow N_{photons} = f(E_{déposée})$

Coincidence temporelle \Rightarrow Signature du $\bar{\nu}_e$: Séparation du bruit de fond

Le détecteur Stereo

Volume cible (LS + Gd) : 6 cellules identiques pour mesurer la déformation du spectre en énergie en fonction de la distance

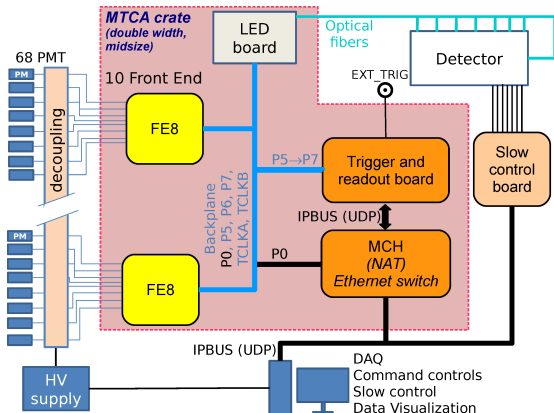
Gamma-catcher (LS) : couronne entourant le volume cible pour récupérer les γ qui s'échappent



68 Photomultiplicateurs (PMTs) :

- 24 \rightarrow 6 \times 4 PMTs par cellules
- 24 PMTs pour le Gamma-Catcher
- 20 PMTs pour le Veto- μ

Électronique de Stereo

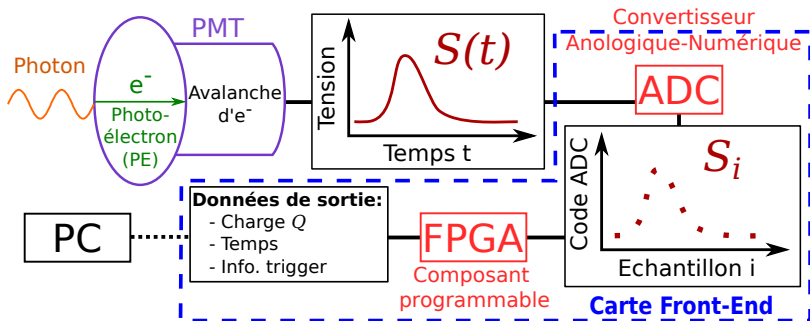


Caractéristiques :

- Échantillonnage à 250 MHz (4 ns)
- Acquisition jusqu'à 1 kHz sans temps mort
- 2 niveaux de trigger :
 - 1 - par carte FE (sur 8 voies)
 - 2 - carte trigger : sur l'ensemble des 68 voies

Réf. : Bourrion et al. Trigger and readout electronics for the STEREO experiment. arXiv:1510.08238 (2015)

Détection des photons de scintillation



Charge : $Q = \sum_i S_i$ en somme de codes ADC

De la charge à l'énergie : $\sum_{PMT} Q \Rightarrow N_{PE} \Rightarrow N_{photons} \Rightarrow E_{déposée}$

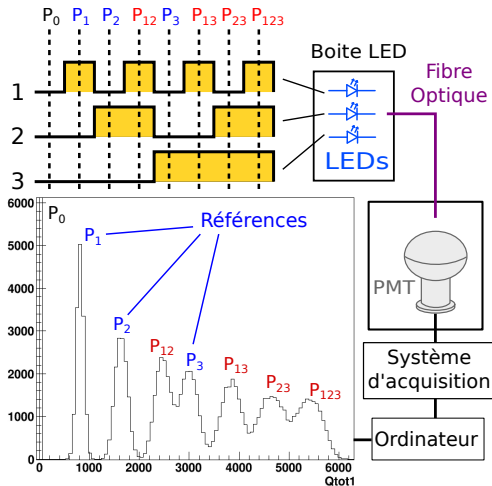
Dynamique : de 1 PE à 1500 PEs \leftarrow Positon e^+ à 10 MeV en face d'un PMT

Mesure de la linéarité avec des LEDs

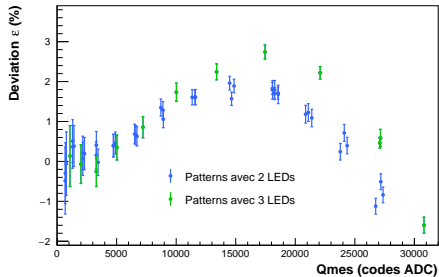
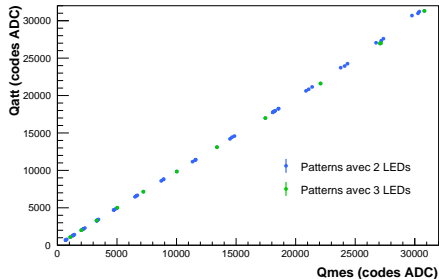
- Charge attendue pour N_{PE} photoélectrons :

$$Q_{att} = N_{PE} \cdot Q_{PE}$$
- Charge mesurée :

$$Q_{mes} = Q_{att} \cdot (1 + \epsilon)$$
 avec ϵ = déviation de la linéarité attendue
- Utilisation des combinaisons de 3 LEDs (ON/OFF)
- Évaluation des Q_{att} des **patterns à plusieurs LEDs** à partir des Q_{mes} des **patterns de référence**



Exemple avec les patterns à 2 LEDs : $Q_{att}(P_{ij}) = Q_{mes}(P_i) + Q_{mes}(P_j)$



Problème : Références affectées par une non-linéarité

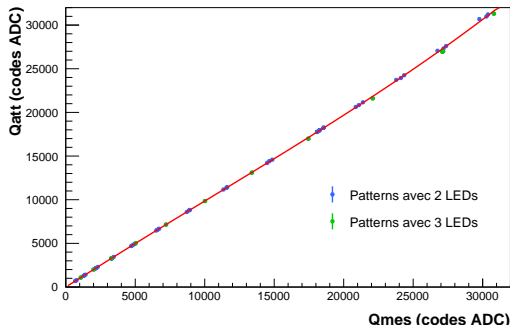
Solution : Méthode itérative

Méthode itérative

Hypothèse : pas de déviation à faibles charges

Étapes :

- 1 - Calculer les charges attendues comme avant
- 2 - Ajuster les Q_{att} :
$$Q_{att} = \frac{Q_{mes}}{1 + \varepsilon}$$
- 3 - Corriger les références avec l'ajustement
- 4 - Re-calculer des charges attendues
- 5 - Répéter à partir de l'étape 2 jusqu'à convergence



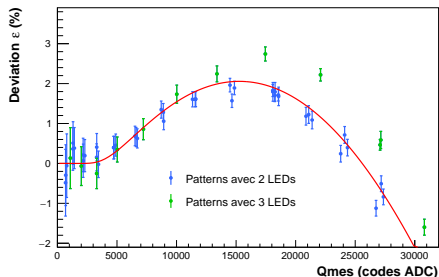
Modèle d'ajustement :

$$\varepsilon = (\alpha \cdot Q_{mes} + \beta \cdot Q_{mes}^2 + \gamma \cdot Q_{mes}^3 + \delta \cdot Q_{mes}^4) \cdot e^{-Q_{cut}/Q_{mes}^2}$$

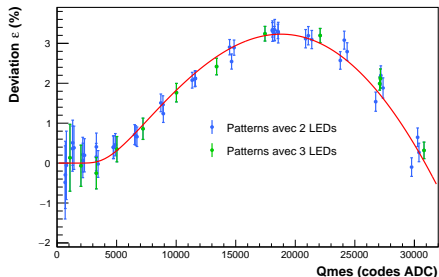
où α , β , γ , δ et Q_{cut} : paramètres libres

Résultats

1^{ère} Itération : (pas de correction)



10^{ème} Itération :



⇒ Cohérence entre les mesures

⇒ Non-linéarité jusqu'à 3% dans notre dynamique

Possibilité de corriger la linéarité !
avec non-linéarité "résiduelle" < 1%

Évaluation de la sensibilité

Sensibilité : Capacité de faire la différence entre les spectres en énergie $O_{l,i}$ dans le cas d'une oscillation et les spectre $N_{l,i}$ dans le cas sans oscillation

$$\chi_{spectre}^2 = \sum_l^{nCells} \sum_i^{nEbins} \left(\frac{O_{l,i} (\Delta m_{st}^2, \sin^2(2\theta_{st})) - N_{l,i}}{\sigma_{l,i}} \right)^2$$

Notation : $i = i^{\text{ème}}$ bin en énergie et $l = l^{\text{ème}}$ cellule

Spectres $O_{l,i}$ et $N_{l,i}$ simulés en prenant en compte :

- Les géométries du détecteur et du réacteur
- Le nombre de neutrinos attendus : $400 \nu \cdot \text{j}^{-1}$ pendant ~ 300 jours
- Un rapport signal sur bruit : $\frac{S}{B} \simeq 1,5$

Réf : Huber et al Reactor neutrino experiments compared to superbeams. Nucl.Phys. B665, 487–519 (2003)

Prise en compte des incertitudes

Incertitudes : paramètres libres $\vec{\alpha}$ mais contraints lors de la minimisation

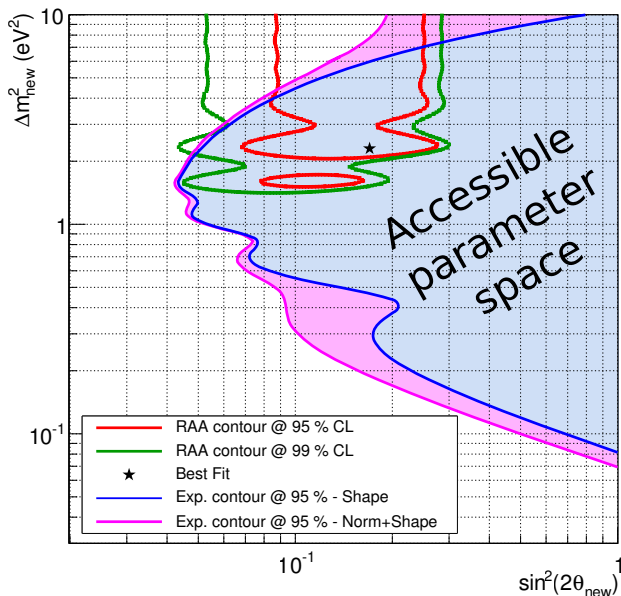
$$\Rightarrow N_{l,i} = \left(1 + \alpha^{norm(cor)} + \alpha_l^{norm(uncor)} + \alpha^{WM} \cdot (E_i - 1) + \alpha_i^{spec} \right) \cdot T_{l,i} + \Delta T_{l,i}^{\alpha^{calib}}$$

avec $T_{l,i}$ les spectres sans oscillation et sans incertitude

$$\chi^2 = \chi_{spectre}^2 + \left(\frac{\alpha^{WM}}{\sigma^{WM}} \right)^2 + \left(\frac{\alpha^{norm(cor)}}{\sigma^{norm(cor)}} \right)^2 + \sum_l^{nCells} \left(\frac{\alpha_l^{norm(uncor)}}{\sigma^{norm(uncor)}} \right)^2 + \sum_l^{nCells} \left(\frac{\alpha_l^{calib}}{\sigma^{calib}} \right)^2 + \sum_i^{nEbins} \left(\frac{\alpha_i^{spec}}{\sigma_i^{spec}} \right)^2$$

Paramètre α	Description	Écart-type σ
α^{WM}	incertitude due au magnétisme faible	$\sigma^{WM} = 0, 65\%$
$\alpha^{norm(cor)}$	erreur corrélée sur la norme	$\sigma^{norm(cor)} = 3, 7\%$
$\alpha_l^{norm(uncor)}$	erreurs non corrélées sur la norme par cellule	$\sigma^{norm(uncor)} = 1, 7\%$
α_l^{calib}	erreurs sur l'étalonnage en énergie par cellule	$\sigma^{calib} = 2\%$
α_i^{spec}	erreurs sur le spectre par bin en énergie	$\sigma_i^{spec} = 0, 7\% - 4\%$

Contours de sensibilité



Implémentation d'une non-linéarité

$$\text{Hypothèse d'une non-linéarité } \beta^{nl} = \frac{Q_{mes} - Q_{att}}{Q_{att}} < 1\%$$

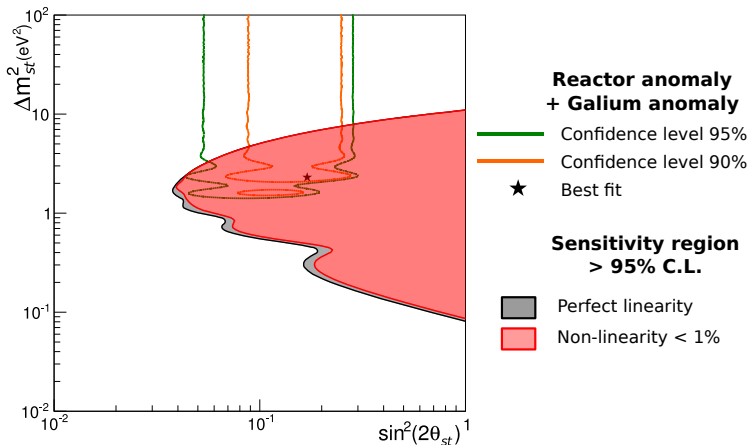
- Modèle de non-linéarité : $\beta^{nl}(E_{att}) = \alpha^a \cdot E_{att}^2 + \alpha^b \cdot E_{att} + \alpha^c$
Trois termes de nuisance : α^a , α^b et α^c
- Sans non-linéarité : $E_{mes} = (1 + \alpha^{calib}) \cdot E_{att}$
 \Rightarrow Avec non-linéarité : $E_{mes} = (1 + \alpha^{calib}) (1 + \beta^{nl}) \cdot E_{att} = (1 + \varepsilon) \cdot E_{att}$
- Terme principal : variation du nombre d'événements

$$\Delta T_{l,i}^\varepsilon = \frac{\varepsilon(E_i^-) \cdot E_i^- \cdot (T_{l,i-1} + T_{l,i}) - \varepsilon(E_i^+) \cdot E_i^+ \cdot (T_{l,i+1} + T_{l,i})}{2(E_i^+ - E_i^-)}$$

- Termes de contraintes : contraintes sur β^{nl}

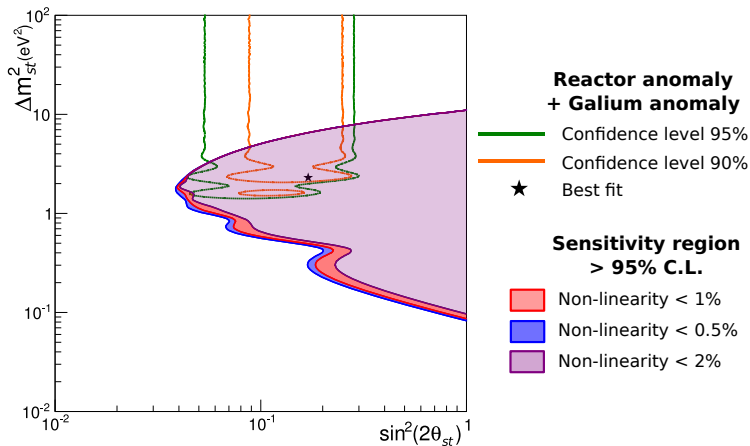
$$\chi^2 = \dots + \left(\frac{\beta^{nl}(2 \text{ MeV})}{\sigma^{nl}} \right)^2 + \left(\frac{\beta^{nl}(5 \text{ MeV})}{\sigma^{nl}} \right)^2 + \left(\frac{\beta^{nl}(7 \text{ MeV})}{\sigma^{nl}} \right)^2$$

Effet d'une non-linéarité de 1%



- Faible diminution mais seulement à faible Δm^2 : incertitude de 1% sur la linéarité acceptable

Comparaison avec des non-linéarités de 0,5% et 2%



- Faible gain pour 0,5% de NL
⇒ peu d'intérêt à gagner un facteur 2 sur la précision de la linéarité

- Diminution seulement à faible Δm^2 pour 2% de NL
⇒ Marge disponible sur l'incertitude

Conclusion

- Mise en place d'une méthode pour mesurer la linéarité en charge de l'électronique

⇒ **Non-linéarité résiduelle < 1%**

- Étude préliminaire de l'impact sur la sensibilité du détecteur

⇒ **Peu d'influence sur la sensibilité**

- Status de l'électronique :

- ▶ Design ✓
- ▶ Fabrication ✓
- ▶ Validation ✓

⇒ **Électronique prête pour l'expérience Stereo**

- Planning :

- ▶ Avril 2016 : Montage de détecteur
- ▶ Juin 2016 : Début de la prise de données
- ▶ **Début 2017 : 1^{er} résultats**